

ВСЕРОССИЙСКИЙ ГОСУДАРСТВЕННЫЙ УНИВЕРСИТЕТ
НАУЧНО-ИССЛЕДОВАТЕЛЬСКИЙ ИНСТИТУТ ГИДРОТЕХНИКИ
имени Б. Е. Валенсева

ИНЖЕНЕРНО-ГЕОЛОГИЧЕСКОЕ ИЗУЧЕНИЕ
И ОЦЕНКА МЕРЗЛЫХ, ПРОМЕРЗАЮЩИХ
И ПРОТАИВАЮЩИХ ГРУНТОВ (ИГК-92)

МАТЕРИАЛЫ III НАУЧНО-ТЕХНИЧЕСКОГО СЕМИНАРА

САНКТ-ПЕТЕРБУРГ
1993

молель мерзлого слоя грунта. В частном случае упругих деформаций этого слоя последний можно рассматривать как плиту, деформации и напряжения в которой связаны известным соотношением

$$\sigma(y) = EJ\Delta z'''(y), \quad (26)$$

которое следует дополнить граничными условиями на контакте со стенкой.

Когда напряжения на контакте не превосходят значения предельно длительной прочности смерзания грунта со стенкой, можно положить

$$\Delta z(0) = 0. \quad (27)$$

Считая контакт грунта со стенкой шарнирным соединением, получаем второе условие в следующем виде:

$$\Delta z''(0) = 0. \quad (28)$$

Кроме этих условий, следует наложить требование коэффициенты функции $\Delta z(y)$.

В этом случае решение задачи записывается следующим образом:

$$\Delta z(y) = \zeta_1^2 (1 - e^{-\zeta_1 y} \cos \delta y); \quad (29)$$

$$\zeta_1^2 = \varepsilon_0 z \left(\frac{\Delta p_{w0}}{\rho_i} + c_h \left(\frac{\rho_w}{\rho_i} \right)^2 A_{11}^2 \right); \quad (30)$$

$$\delta = \left(4\gamma_2^2 \varepsilon_0 z c_h \left(\frac{\rho_w}{\rho_i} \right)^2 E J \right)^{-1/4}. \quad (31)$$

Кривая локального поднятия показана на рис. 12 (кривая 1).

С течением времени по мере нарастания глубины промерзания напряжения в зоне контакта грунта со стенкой, определяемый момент достигают значения предельно длительной прочности смерзания. Начиная с этого момента происходит скольжение грунта по стенке при постоянном напряжении в зоне контакта, поэтому вместо (27) следует положить

$$\Delta z'''(0) = \text{const}. \quad (32)$$

Соответствующая кривая $\Delta z(y)$ показана на рис. 12 (кривая 2). В обоих случаях асимптотические значения поднятия $\Delta z(y)$ при $y \rightarrow \infty$ соответствуют отсутствию нагрузки. Отме-

тим, что аналогичные рассуждения могут быть использованы для оценки введенных В. О. Орловым [12] величин нормальных сил пучения, действующих на пологовьи малозаглубленного фундамента.

СПИСОК ЛИТЕРАТУРЫ

- Фельман Г. М. Передвижение влаги в талых и промерзающих грунтах. — Новосибирск: Наука, 1988.
- Жесткова Т. Н., Шур Ю. Л. Промерзание грунтов в условиях открытої системы // Мерзлотные исследования. — 1980. Вып. XIX. — С. 164—177.
- Biernans M. B. G. M., Dijkema K. M., de Vries D. A. Water movement in porous media towards an ice front // J. Hydrol. — 1978. — V. 37. — P. 137—148.
- Горелик Я. Б., Колунин В. С. О миграции влаги при промерзании пористых сред // Геокриологические исследования в арктических районах. — Ямбург, 1989. — Вып. IV. — С. 79—96.
- Gilpin R. R. A model for the prediction of ice lensing and frost heave in soils // Water Resour. Res. — 1980. — V. 16, N 5. — P. 918—930.
- O'Neil R., Miller R. D. Exploration of a rigid ice model of frost heave // Water Resour. Res. — 1985. — V. 21, N 3. — P. 218—295.
- Ozawa M., Kinoshita S. Segregated ice growth on a microporous filter // J. of Colloid and Interface Science. — 1989. — V. 132, N 1. — P. 113—124.
- Дерягин Б. В., Чураев Н. В., Муллер В. М. Поверхностные сдвиги. — М.: Наука, 1985.
- Баренблатт Г. И. О некоторых приближенных методах в теории одномерной фильтрации жидкости при упругом режиме // Изв. АН СССР. Отн. — 1954. — № 9. — С. 35—49.
- Орлов В. О. Криогенное изл. во АН СССР, 1962.

УДК 551.345

Э. Д. Ериов, Ш. Ше Цу, Ю. П. Лебеденко,
Е. М. Чувалин, К. Ю. Крючков

ПРОЦЕССЫ МАССОПЕРЕНОСА И ДЕФОРМИРОВАНИЯ В МЕРЗЛЫХ ПОРОДАХ, ВЗАИМОДЕЙСТВУЮЩИХ С ВОДНЫМИ РАСТВОРАМИ СОЛЕЙ

Проблема взаимодействия мерзлых пород с солевыми растворами привлекает внимание многих исследователей как у нас в стране, так и за рубежом [1, 6, 7, 9—12]. В практическом плане знание физико-химических, тепломассообменных, механических и структурообразовательных процессов, развивающихся во взаимодействующих средах, необходимо для решения инженерных задач в области геокриологии, агрофизики, криобиологии и др. Применительно к геокриологии особенно важ-

Помимо являются вопросы взаимодействия криоплагов с толщами мерзлых пород, влияния соленых вод на подстилающие породы в шельфовых зонах северных морей. В научном плане эта проблема важна при рассмотрении сложного комплекса физико-химических процессов, возникающих при взаимодействии мерзлых пород с солевыми растворами, что вносит вклад в теорию формирования состава, строения и свойств мерзлых толщ.

В целом на сегодняшний день уже имеются некоторые физические модели развития физико-химических и массообменных процессов в мерзлых породах при взаимодействии их с водными растворами солей, выполнены методические исследования, со-

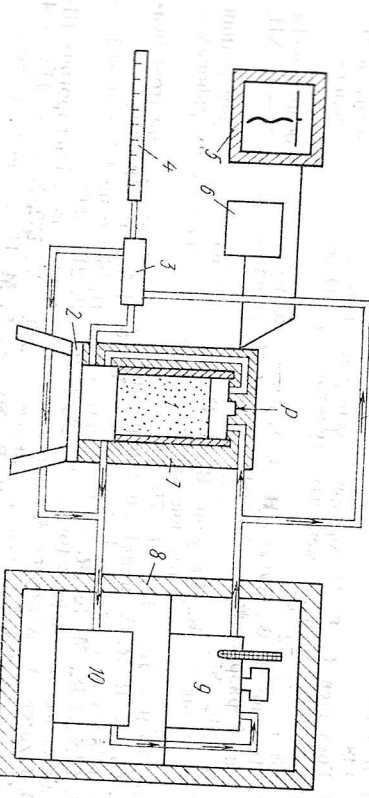


Рис. 1. Схема лабораторной установки.

зданы различные установки и способы проведения экспериментов. В [2, 4, 5] в основном рассматривались отдельные параметры системы мерзлой порода — солевой раствор.

Что касается данной работы, то она направлена на изучение комплекса параметров, включающих массоперенос и деформации физико-химической системы, на выявление их взаимосвязи мерзлой воды — раствор. Кроме того, в работе была сделана попытка экспериментально оценить тепловые эффекты, возникшие при взаимодействии мерзлой породы и раствора, что делалось ранее.

Комплекс экспериментальных исследований выполнялся на модельном грунте, в качестве которого использовалась каолиновая глина. Измельченная до состояния пропелла глина смешивалась с дистиллированной водой, а полученная текучепластическая масса уплотнялась в перфорированных кассетах под нагрузкой, достигающей 1,2 МПа. Данные образцы служили исходным материалом для опытов.

Все эксперименты проводились на специально собранной установке, включающей комплекс холодильного оборудования, различные устройства и приборы (рис. 1). Основу установки

составляет кассета (рис. 2), состоящая из пластикового цилиндра 7 высотой 12 см, диаметром 4 см, который с помощью запилок 2 крепится на основании 10. Сверху на цилиндре устанавливается поршень 6 для передачи давления на образец. Вся кассета покрывается изоляционным кожухом 8. В кассете имеются датчики измерения теплового потока 3, 4. Два датчика име-

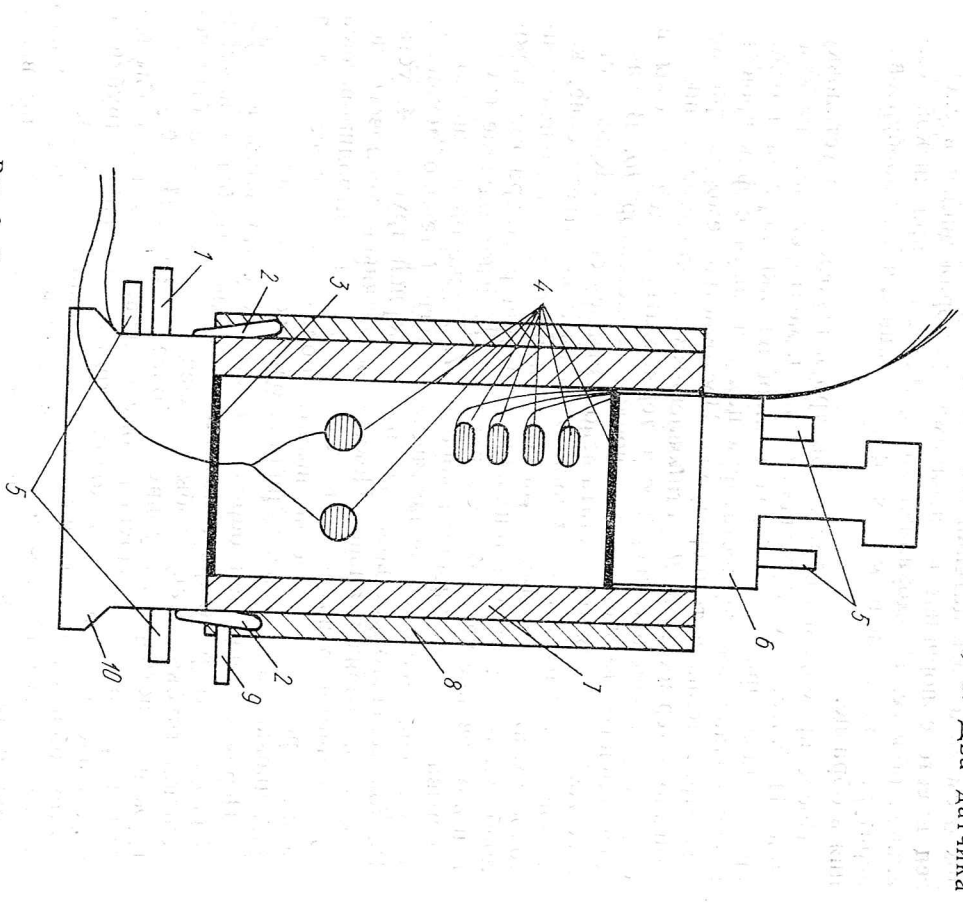


Рис. 2. Схема устройства экспериментальной кассеты.

вмонтированы в стенку цилиндра 7, один датчик расположен у поршина 6, один — перфорированный датчик 3 — на основании 10 и четыре датчика — непосредственно в испытуемом образце. С датчиками измерения теплового потока совмещены термопары, предназначенные для измерения температуры. На поршине

и основании имеются штуцеры 5 для подвода термостатированной жидкости. На основании расположены штуцер 1 для подачи солевого раствора.

Подготовка к эксперименту включала ряд операций.

В исходный уплотненный образец высотой 4—6 см, диаметром 4 см врезались датчики теплового потока, после чего образец вместе с поршнем и датчиками промораживался в специальной обойме. Промораживание происходило при низкой температуре под давлением для предотвращения шлирообразования в образце.

После проморозки образец быстро переносился в установку (рис. 1). Кассета, содержащая образец, монтировалась на компрессионный прибор 2. Через теплообменники поршня и основания подавалась термостабилизированная жидкость с фиксированной отрицательной температурой. Постоянство температуры достигалось терmostатом 9, установленным в холодильном шкафу 8. Для уменьшения инерционности термостабилизирующей системы в холодильнике также был установлен конденсатор 10. В качестве жидкости для терmostата использовалась спирт. Кроме того, из системы термостатирования было сделано отверстие, которое охлаждало подаваемый солевой раствор с помощью теплообменника 3; второй теплообменник для раствора монтировался в основание кассеты 1. Сверху кассета и подводящие трубы покрывались изоляционным коробом 7. Также были тщательно теплоизолированы все подводящие шланги и теплообменник 3.

Расход солевого раствора измерялся мерной трубкой 4, установленной горизонтально. Показания датчиков теплового потока и термопар измерялись самописцем 5 и контролировались вольтметром 6. Изменение высоты образца в процессе опыта фиксировалось с помощью индикатора часового типа.

Перед помещением образца в кассету устанавливался уровень солевого раствора с помощью отводной трубы и измерительной трубы 4 так, чтобы образец во время опыта был погружен в раствор на глубину не более 1—2 мм. После установления уровня на отводную трубку надевался зажим, чтобы поступление раствора происходило только из мерной трубы 4. Затем образец из камеры вместе с поршнем закладывался в кассету, но в контакт с раствором не приводился. Выхлопная циркуляция термостатирующей жидкости, сверху надевалась изоляционный короб. После установления постоянной температуры опыта проводился контакт образца с двунормальным раствором NaCl и фиксировалось начало эксперимента.

Таким образом, установка позволяла: с помощью термостата и холодильника изменять температуру опыта; с помощью компрессионного прибора — давление на образец; определять температуру, величину и направление тепловых потоков в различных точках по высоте образца, в основании и стенке кас-

сеты, а также в поршне; расход солевого раствора, приводимого в контакт с образцом; деформации образца в ходе опыта. Кроме того, после опыта определялась плотность образца, послойно брались пробы на влажность и водную вытяжку (на содержание Na^+ и Cl^-), с образца также снималась реплика для изучения криогенного макро- и микростроения, определялась величина отгавившей зоны. По этой схеме был проведен комплекс экспериментов в различных термобарических условиях, в которых каолинитовая глина приводилась в контакт с двунормальным раствором NaCl.

Результаты эксперимента показали, что процессы массопереноса подчиняются общим законам миграции влаги и солей в мерзлых породах. Исходя из существующих теоретических представлений, а также из результатов опытов, можно в следующем виде описать ход процесса.

До контакта имеются две системы — раствор и мерзлый грунт, в каждой из которых потенциалы влаги равновесны, но не равны между собой. Тоже самое следует сказать и о концентрациях. После соприкосновения грунт и раствор начинают взаимодействовать как единная система, в которой нарушено состояние равновесия. При этом возникает градиент потенциала влаги, вызывающий поток влаги в мерзлый грунт, который совпадает по направлению с потоком солей, т. е. имеет место так называемый обратный осмос. Кроме

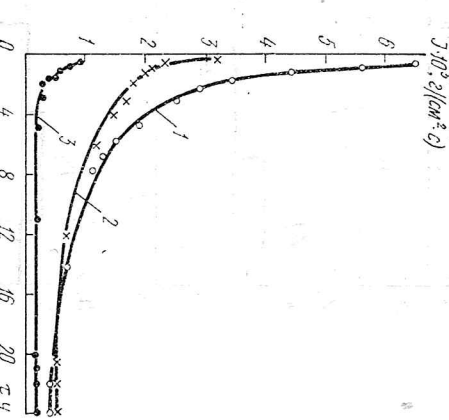


Рис. 3. Изменение плотности миграционного потока J в образце каолиновой глины ($P_{\text{упл}} = 1,2 \text{ МПа}$), взаимодействующем в мерзлом состоянии с солевым раствором NaCl ($C = 2\text{н}$, $t = 24 \text{ ч}$) при различных термобарических условиях

$$I - p = 0, t = -4,9^\circ\text{C}; 2 - p = 0, t = -6,1^\circ\text{C}; 3 - p = 0,4 \text{ МПа}, t = -4,5^\circ\text{C}.$$

того, ионы соли, передвигающиеся внутри грунта, захватывают с собой воду в солватных оболочках, что тоже является причиной влагопереноса. Со временем поток раствора в мерзлый грунт быстро уменьшается, и уже в первые 2—4 ч его величина сокращается в 2 раза (рис. 3). В дальнейшем скорость изменения потока падает, и при длительности проведения опыта в одни сутки за последние 6—8 ч величина потока практически не изменяется. Процесс миграции раствора в мерзлый образец вызывает оттаивание образца и формирование талой части образца. За счет опреснения мигрирующего раствора происходит час-

тичное вымерзание воды и наблюдается увеличение влажности — льдистости в мерзлой зоне, непосредственно перед фронтом оттаивания. В нижней мерзлой части образцов, контактирующей с оттаявшей засоленной частью, выявлены включения льда в виде горизонтальных линзовидных микрощелий.

Компрессионное давление на испытуемый образец P подавляет процессы массопереноса в нем. В ряде работ, например

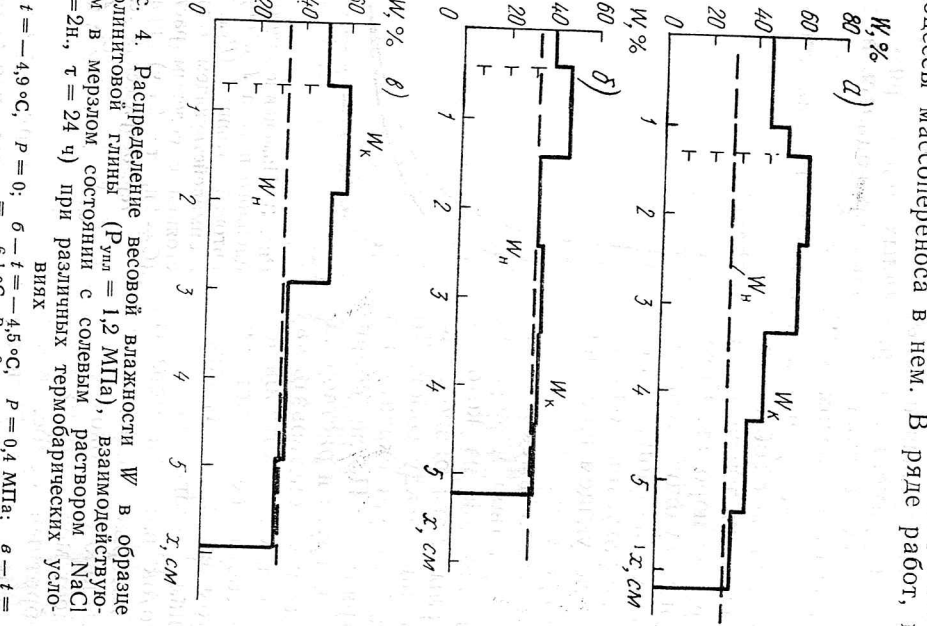


Рис. 4. Распределение весовой влажности W в образце каолинитовой глины ($P_{\text{упл}} = 1,2$ МПа), взаимодействующей в мерзлом состоянии с солевым раствором NaCl ($C = 2\text{H}_2\text{O}$, $\tau = 24$ ч) при различных термобарических установках

$$a - t = -4.9^\circ\text{C}, \quad p = 0, \quad b - t = -4.5^\circ\text{C}, \quad p = 0.4 \text{ МПа}; \quad c - t =$$

[3, 8], указывалось, что миграция влаги прекращается при величинах давления примерно 0.7 — 0.8 МПа. В наших опытах (0,4 МПа). Плотности миграционного потока в начальный момент времени в образце, находящемся под нагрузкой, на порядок меньше, чем в образце без нагрузки. В конце опыта, длившегося 24 ч, плотности потоков различаются лишь в 2 раза (см. рис. 3). Изучение микростроения этих образцов показало, что

в образце, взаимодействующем с солевым раствором под нагрузкой, наблюдаются лишь отдельные микрощели.

Влияние температуры на влагоперенос в целом менее за-

метно, чем влияние давления. Так, понижение температуры от

7

— 4.9 до -6.1°C вызывает уменьшение миграционного потока в 2 раза. Однако скорость уменьшения плотности миграционного потока при более низкой температуре (-6.1°C) меньше,

чем при температуре $-4,9^{\circ}\text{C}$. Поэтому общее залонакопление в образцах, испытываемых при той и другой температуре, различается несильно (рис. 4).

Рассмотрим результаты исследования миграции ионов в мерзлых породах при взаимодействии их с растворами солей. Миграция ионов в системе раствор — мерзлый грунт обуславливается некоторыми механизмами. Это главным образом три механизма: конвективный, диффузионный и адсорбционный. Они были изучены довольно подробно ранее, в данной работе отметим лишь их соотношение применительно к условиям эксперимента. Так, расчетные данные показывают, что объемы солей, мигрирующих конвективным способом, более чем в 2 раза превышают объемы солей, мигрирующих диффузионным и адсорбционным способами. Это можно проследить и на графиках распределения солей после эксперимента. В то же время в опыте с воздействием внешней нагрузки перенос солей осуществлялся в основном за счет адсорбционного и диффузионного механизмов. При этом следует учитывать, что в наших экспериментах конвективный поток не прерывался полностью, так как внешняя нагрузка была вплоть до конца экспериментальной.

Величина залонакопления в образце для эксперимента, проводимого при $-4,9^{\circ}\text{C}$ без давления, составила 0,162 г (рис. 5). В то же время общее количество раствора, мигрировавшего в образец, достигло 16 г. Если бы в процессе миграции концентрация раствора C не менялась, то миграционный поток влаги принес бы с собой солей 1,8 г. Однако по мере продвижения в грунте раствор опреснялся. Это указывает на то, что в данных условиях мерзлая порода обладает хорошими селективными свойствами.

Также можно отметить, что ионы Na^+ и Cl^- имеют различную миграционную способность в мерзлых породах. Во всех зонах образца содержание ионов хлора оказалось больше, чем ионов натрия.

Очень сильно сказывается на миграционном потоке солей таящей части образца в 2 раза, а в мерзлой части почти на порядок. В верхней половине образца, нагруженного до 0,4 МПа, содержание солей не выходит за фоновые значения. Таким образом, давление существенно влияет на переход солей через границу раздела фаз.

Изменение температуры от $-4,9$ до $-6,1^{\circ}\text{C}$ слабо оказывает на соленакоплении. При этом в талой части наблюдается небольшое уменьшение содержания солей, а непосредственно перед фронтом оттаяния в образце с более низкой температурой отмечается некоторое увеличение залонакопления.

Поступление раствора в грунт вызывает в нем процессы де-

формирования, приводящие к изменению размеров образца.

Миграции ионов в грунте при оказании давления на образец в 0,4 МПа. К процессам, вызывающим увеличение объема образца, относятся набухание за счет миграции влаги в образец, расщепление при вымерзании части раствора, хемогенное деформирование за счет взаимодействия ионов с грунтовыми частицами. К процессам, уменьшающим размеры грунта, следуют отнести оттаивание в области падающей во взаимодействие с ионами солей и минеральной подложкой. Кроме того, в грунте происходят физико-химические процессы коагуляции, агрегации, диспергирования частиц в различных зонах взаимодействия с раствором, что также влияет на общий ход деформирования грунта. Но общий характер деформаций положительный, и самий главный вклад вносят процессы набухания и растворения за счет миграции раствора в мерзлых образцах. На графике (рис. 6) приводится сопоставление плотности миграционного потока и скорости деформирования образца. Учитывая, что 1 г раствора имеет объем около 1 см³, можно проследить, что порядки величин, как показали эксперименты, совпадают. Подобными являются и формы кривых. При этом различия значений на кривых дают возможность оценить вклад других процессов, кроме миграционных, в общий характер деформирования. Таким образом, развитие деформаций непосредственно сопряжено с изменением плотности миграционного потока. Миграционный поток и деформации образца имеют максимальные значения в первые 4 ч, во время которых и тот и другой процесс стремительно затухают. Следующие 6–8 ч деформирования обильно затухают. Последние 10–12 ч скорость деформирования медленно возрастает. На деформацию образца сильнее всего влияет давление. Это понятно, так как давление тормозит основной процесс, вызывающий изменение размеров образца: проникновение раствора в

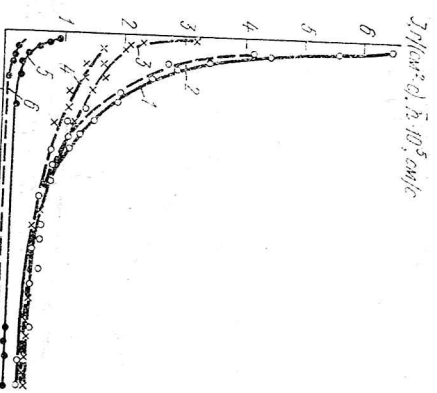
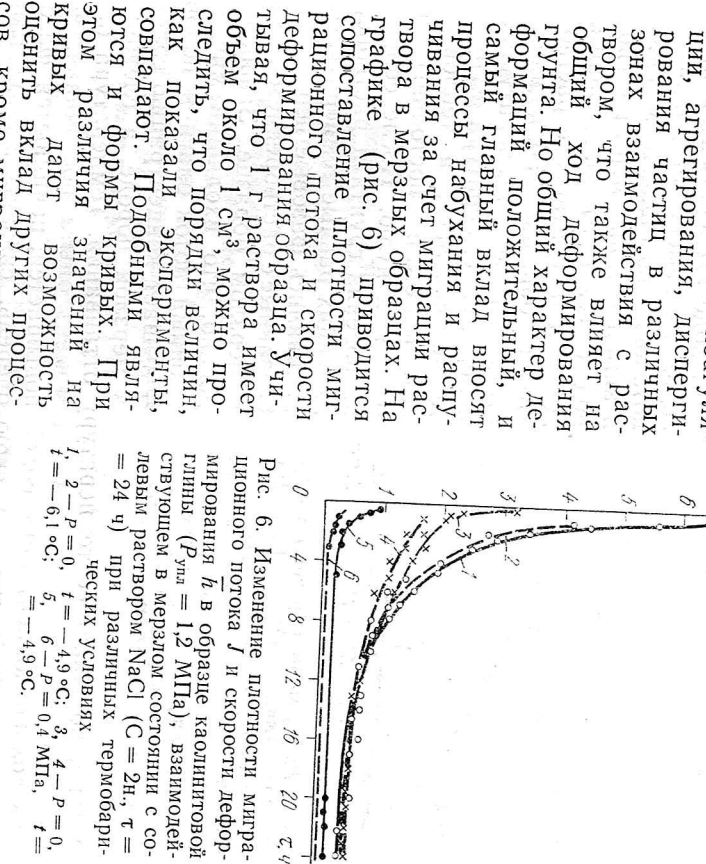


Рис. 6. Изменение плотности миграционного потока J и скорости деформирования h в образце каолинитовой глины ($P_{\text{угл}} = 1,2$ МПа), взаимодействующем с солевым раствором NaCl ($C = 2\text{n.}$, $t = 24$ ч) при различных термобарических условиях



На деформацию образца сильнее всего влияет давление. Это понятно, так как давление тормозит основной процесс, вызывающий изменение размеров образца: проникновение раствора в

грунт. Получение образца под давлением составило лишь 0,07 см, тогда как образец без давления увеличился на 0,9 см. Причем в деформировании процессов, не связанных с миграцией влаги, по-видимому, больше в случае опыта с давлением. Этот вывод можно сделать, сравнивая графики скорости деформирования и плотности миграционного потока. В случае опыта без давления кривые этих графиков расположены ближе друг к другу.

Влияние температуры тоже оказывается на деформировании образцов. Так, понижение температуры от $-4,9$ до $-6,1^{\circ}\text{C}$ вызывает уменьшение деформации на 0,25 см (рис. 7).

В ходе экспериментов проводились измерения тепловых потоков, возникающих при взаимодействии мерзлых пород с солевыми растворами. До начала контакта с раствором в образце наблюдалось стационарное температурное поле, т. е. температура в грунте не менялась, а тепловые потоки были постоянны и близки к нулю. После спри-

косновения грунта и раствора, имеющих равные температуры, начинались фазовые переходы, связанные с растворением льда в мерзлом образце. Зафиксировано, что входящий миграционный поток влаги и ионов повышает концентрацию солей в мерзлой породе, а следовательно, понижает ее температуру оттаивания. Температура обра-
зца и раствора в начальный момент опыта постоянная, но как только концентрация солей повышается, начинаются фазовые переходы, которые, в свою очередь, связаны с тепловыми эффектами. В случае оттаивания идет поглощение тепла. В мерзлой зоне образца близи фронта оттаивания происходит шлировыведение, которое идет соответственно с выделением тепла. Таким образом, во взаимодействующей системе грунт — раствор возникают фазовые переходы, которые идут в двух областях: в зоне оттаивания и зоне шлировыведения. Это вызывает сложную картину теплопотоков в образце.

В нижней части исследуемого образца возникают тепловые потоки, направленные к фронту оттаивания. Они достигают значений 20—30 Bt/m^2 . Но уже через 4—5 ч тепловые потоки в зону оттаивания существенно уменьшаются (примерно в два раза).

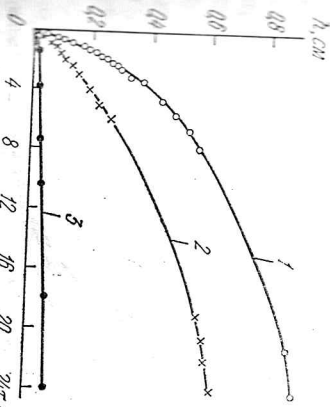


Рис. 7. Деформация образца h каолинитовой глины ($P_{\text{уп}} = 1,2$ МПа), подвергнутого в мерзлом состоянии с солевым раствором NaCl ($C = 2\text{N}$, $t = 24$ ч) при различных термобарических условиях
 $t = p = 0$, $t = -4,9^{\circ}\text{C}$; $2 - p = 0$, $t = -6,1^{\circ}\text{C}$; $3 - p = 0,4$ МПа, $t = -4,5^{\circ}\text{C}$.

В это время датчики, расположенные в мерзлой зоне над фронтом оттаивания, указывают на увеличение выноса тепла. Тепловые потоки здесь достигают $20 \text{ Bt}/\text{m}^2$. Если посмотреть на графики зависимости миграционного потока от времени, можно увидеть, что через 4—5 ч после начала опыта миграционный поток не затух. Наличие миграционного потока указывает на тепловые эффекты, связанные со шлировыведением, которые фиксировались по датчикам измерения теплового потока.

Таким образом, на созданной экспериментальной установке проведены комплексные исследования взаимодействия мерзлых пород с солевыми растворами, в процессе которых оценивалась и определялся целый ряд параметров и характеристик теплопроводности, структуро- и текстурообразования и деформации взаимодействующих систем.

В результате экспериментов впервые получены данные, характеризующие тепловые потоки, возникающие при взаимодействии мерзлых пород с солевыми растворами. Выявлены взаимосвязи параметров и характеристик тепломассопереноса, структуро- и текстурообразования и деформирования засоленных мерзлых пород при различных термобарических условиях.

СПИСОК ЛИТЕРАТУРЫ

1. Анисимова Н. П. Криогидрохимические особенности мерзлой зоны. — Новосибирск: Наука, Сиб. отд-е, 1981.
2. Деформирование мерзлых пород при взаимодействии с водными растворами солей / Э. Д. Ершов, Ю. П. Лебеденко, Е. М. Чувилин и др. // Геокриологические исследования. — М.: Изд-во МГУ, 1989. — С. 202—210.
3. Экспериментальные исследования криогенного текстурообразования при эпир- и синтептермическом способах промерзания пород / Э. Д. Ершов, Ю. П. Лебеденко, В. Н. Кондаков и др. // Там же. — 1987. — С. 141—150.
4. Лебеденко Ю. П. Криогенная миграция ионов и связанной влаги в льдоносных листерсных породах // Инженерная геология. — М.: Изд-во АН СССР, 1989. — Вып. 4. — С. 21—30.
5. Микростроение мерзлых пород. — М.: Изд-во МГУ, 1988.
6. Мурзинин Р. П. Подвижность ионов в ММП // II Международная конференция по мерзлотоведению (СССР, Якутск, 16—28 июля 1973); Тезисы докладов. — М., 1973.
7. Нерсесян З. А. Влияние обменных катионов на миграцию влаги и пучение грунтов при промерзании // Исследования по физике и механике мерзлых грунтов. — М.: Изд-во АН СССР, 1961. — С. 52—52.
8. Радл Д. Ф., Оргле Д. Х. Экспериментальные исследования влияния давления на механизм морозного пучения иrostia — плавления льда в грунтах и ледниках // II Международная конференция по мерзлотоведению: Доклады и выступления. — Якутск, 1975. — Вып. 8. — С. 232—243.
9. Савелев Б. А. Физика, химия и строение природных льдов и мерзлых горных пород. — М.: Изд-во МГУ, 1971.
10. Тюлюков А. И. Миграция воды в торфо-глеевой почве и периоды замерзания и замерзшего ее состояния в условиях неглубокого застывания вечной мерзлоты. — М.: Изд-во АН СССР, 1963.
11. Chamberlain E. J. Frost heave of saline soils // Proc. 4-th Intern. Conference: Permafrost. — Washington, U. S. A. — 1983. — P. 121—126.
12. Qin Guoging et al. Direction of ion migration during cooling and freezing process // Proc. 5-th Intern. Conference: Permafrost. — Norway. — 1988. — V. 1. — P. 447—452.